

열·유체 일반적 컴퓨터 프로그램의 연소과정 연구에의 응용

An Application of General-Purpose Computer Program in Heat Transfer and Fluid Flow to Combustion Process

이재현*
Jae-Heon Lee

1. 서 론

복잡한 연소과정의 예측을 위한 이론적인 연구는 Gosman, Spalding, Patankar 등의 수치해석 방법을 이용하여 진행된 것들이 많다. 현재 이 분야에 응용되는 일반적인 Program으로는 Boundary Layer Type의 방정식을 이용한 One-Dimensional Program (GENMIX 4, Revised GENMIX) 등이 있으나 Parabolic Type이므로 주방향에 수직된 방향으로 동일한 값이 2개 이상 존재할 수 있는 Elliptic 현상을 설명하기에는 어려움이 있다. 그러므로 비록 기억용량 (Computation Storage) 및 계산시간 (Running Time)에 불리한 점이 있기는 하나 Elliptic 상황을 해석해야만 할 경우가 있다.

본 해설은 Patankar의 Elliptic "SIMPLE" Program을 연소 해석과정에 이용되는 방법을 간단한 연소과정의 예로서 설명하는 것으로 연소 과정의 연구보다도 Program의 응용성에 중점을 두었다. 따라서 실제의 물리적인 연소 mechanism에서 많은 가정을 도입하여 문제를 단순화 시켰으며 실제의 연소문제에 충분한 접근을 위해서는 turbulence-modeling과 radiation heat flux가 본 해설에 덧붙여져서 논의되어야 한다. 이에 관한 정보는 참고문헌 [1], [2]에서 얻을 수 있다.

2. 연소모델

원통 연소실은 직경 20cm이며 길이는 1m로서

수평으로 놓여 있으며 연소실 입구에서는 원통의 중심선을 따라 CH_4 gas가 공기 - 연료비분 20으로 유지하면서 유입되며 그 주위로 연소용 선회 공기가 축방향속도 50m/s로 유입된다. 연소 실 외벽의 냉각을 위하여 냉각용 공기가 20m/s로 외벽 주위로 유입된다. 그림 1에는 고려하는 모델을 표시하였다. 상세한 연소조건을 나열하면 아래와 같다.

- (1) 연소실 반경 : 20cm.
- (2) 연소실 길이 : 100cm.
- (3) 연소과정 : $\text{CH}_4 + 2\text{O}_2 \rightarrow \text{CO}_2 + 2\text{H}_2\text{O}$.
- (4) 연료유입 : 연소실 입구에서 반경 2.5cm의 Tube 이용.
- (5) 연소용 공기유입 :

 - (a) 연소실 입구에서 내경 2.5cm, 외경 5cm인 중공원통 이용.
 - (b) x 방향 유입속도 ; 50m/s,
 - (c) Swirl 속도 ; x 방향 속도의 20%로서 원주방향의 속도성분만 갖는다.

- (6) 냉각공기유입 :

 - (a) 연소실 입구에서 내경 17.5cm, 외경 20cm인 중공원통 이용.
 - (b) x 방향 유입속도 ; 20m/s.

- (7) 공기연료비 : 20

3. 계산목적

상기 모델에 연소가 진행되어 정상 상태일 때 아래의 사항을 알고자 한다.

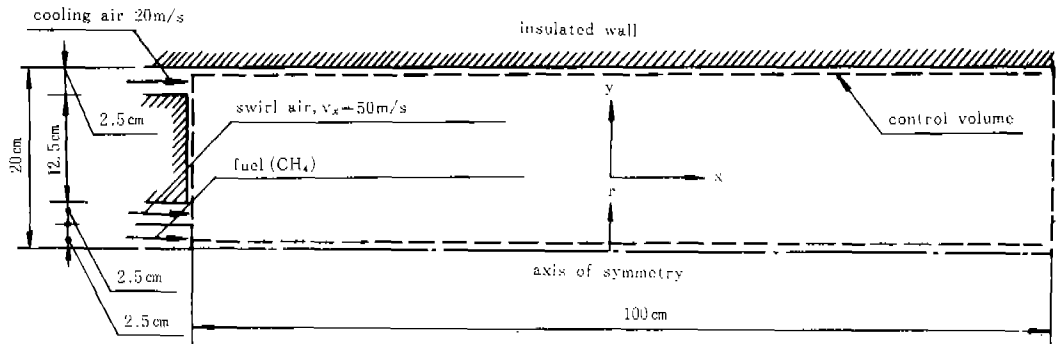


Fig. 1 Schematic diagram of combustion chamber

- (1) x 방향 속도분포
 - (2) r 방향 속도분포
 - (3) 각 화학성분의 분율분포
 - (4) 온도분포
 - (5) Swirl의 속도분포
 - (6) 평균밀도 및 압력분포

4. 이론식 전개

본 Program은 직교직각좌표계, 원통좌표계 및
극좌표계에 적용되며 일반적인 종속변수 ϕ 에 대
하여 밀도가 ρ , 속도가 v 일때 기본 방정식은 아
래와 같다.

$$\frac{\partial}{\partial t}(\rho\phi_t) + \frac{\partial}{\partial x_j}(\rho u_j \phi) = \frac{\partial}{\partial x_j}(\Gamma \frac{\partial \phi}{\partial x_j}) + S \quad \dots(1)$$

용·용되는 방정식이 운동량 방정식 일 경우에는 Source Term인 S 는 압력구배와 여러 힘의 합이며 압력구배항을 별도로 취급하여 연속방정식을 이용하여 압력을 수정하는 방법을 취한다. 기타 에너지방정식, 화학량 방정식 등에서의 S 는 에너지 발생율, 화학량 증가율 등이 된다. Γ 는 일반적임 Diffusion 계수를 나타낸다.

A. 운동량 밝정식 (x 과 y 좌표는 λ 을)

$$\frac{\partial(\rho u)}{\partial t} + \frac{\partial}{\partial x}(\rho uu) + \frac{1}{r} \frac{\partial}{\partial y}(\rho rvu) = -\frac{\partial p}{\partial x} \\ + \frac{\partial}{\partial x}(\rho \varepsilon_m \frac{\partial u}{\partial x}) + \frac{1}{r} \frac{\partial}{\partial y}(r \rho \varepsilon_m \frac{\partial u}{\partial y}) \quad \dots\dots\dots(2)$$

여기서 u 는 x 방향의 속도, v 는 r 방향속도, ϵ_m 은 와학산계수 (eddy diffusivity)이며 $\rho \epsilon_m$ 은 0 (10^{-1}) [$\text{kg}/(\text{m} \cdot \text{s})$]이다. v_θ 는 swirl의 원주방향 속도이며 $\rho v_\theta^2/r$ 은 v_θ 에 의한 원심력을 나타낸다.

압력 p 는 “SIMPLE”(3)방법에 의해 결정되며 이때 압력수정방정식이 이용되며 이 방정식은 Program내부에서 계산도록 되어 있다.

○ 초기증상

- ① v ; 전체 구간에서 zero
 ② u ; $x = 0$ 에서 zero, $y = 20\text{cm}$ 에서 zero 및
 이 외의 구간에서 20m/sec

○ 경계조건 :

- ① u ; 냉각공기 입구속도 20m/sec , 연소용 공기 입구속도 50m/sec , 연료 입구속도 및 $x = 100\text{cm}$ 에서의 출구 경계조건은 아래와 같다.

a) 연료 입구속도, $u(2,2)$:

$$u(2,2) = \frac{u(2,3) * YCVR(3)}{YCVR(2) * ARFU} * RATIO$$

$$+ \frac{u(2,M2) * YCVR(M2)}{YCVR(2) * ARFU} * RATIO$$

여기서 $YCVR(3)$, $YCVR(2)$ 및 $YCVR(M2)$ 는 각각 연소용 공기, 연료 및 냉각용 공기가 도입되는 면적이며 원주방향의 각도는 1 rad 이다. 또한, $RATIO = 1/(W_{fu} * (0.232/W_{ox} + 0.768/W_{pr}))$ 로서 연료의 분자량에 대한 공기의 평균 분자량의 비율이며

6. 계산결과

30회의 반복계산 후에 u , v , Stream function, m_{fx} , m_{ox} , T, rv_e , P 및 밀도 등의 변수들이 수렴되었다.

결과치들의 분석을 위하여 Stream Line의 분포, 등온선의 분포, Swirl 속도의 분포, 등압선의 분포, 등밀도선의 분포, 등산소질량분율선 및 등연료질량분율선 등을 도시하였다며 그림 2 ~ 그림 8에서 보는 바와 같다.

참 고 문 헌

- S. V. Patankar and B. Spalding, Simultane-

ous Prediction of Flow Patterns and Radiation for Three-Dimensional Flames, *Heat Transfer in Flames*, Chapter 4, N. H. Afgan and J. M. Beer, Editors, SCRIPTA Book Company (1973)

- W. Richter and R. Quack, A Mathematical Model of a Low-Volatile Pulverised Fuel Flame. *Heat Transfer in Flames*, Chapter 5, N. H. Afgan and J. M. Beer, Editors, SCRIPTA Book Company (1973)
- S. V. Patankar, Numerical Heat Transfer and Fluid Flow, McGraw-Hill(1980)

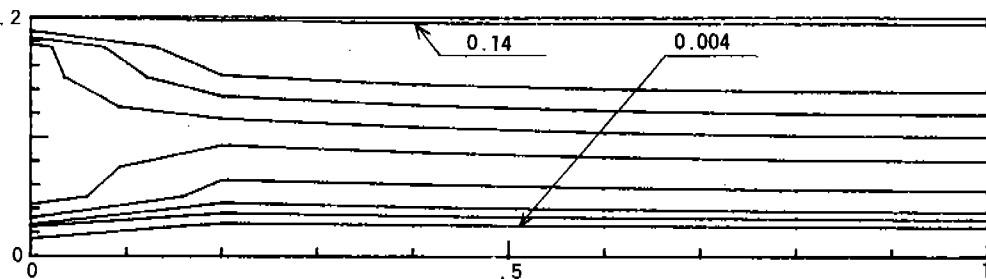


Fig. 2 Distributions of stream line
Stream function [m^2/s]; 0.14, 0.1, 0.08, 0.06, 0.04, 0.02, 0.01, 0.007, 0.004

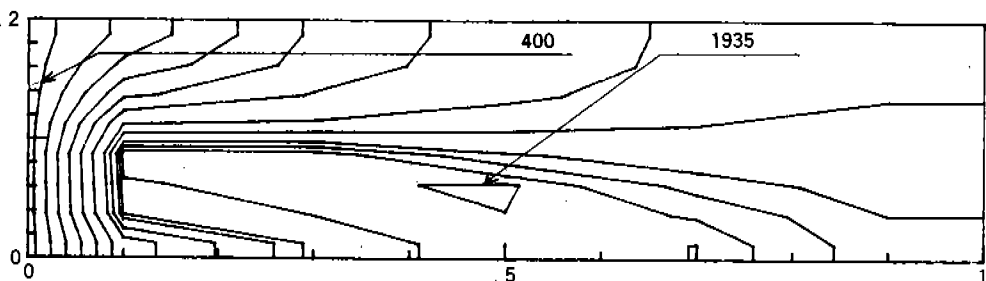


Fig. 3 Distributions of isotherm
Temperature (K); 1935, 1900, 1850, 1800, 1700, 1600, 1400, 1200, 1000, 800, 600, 400

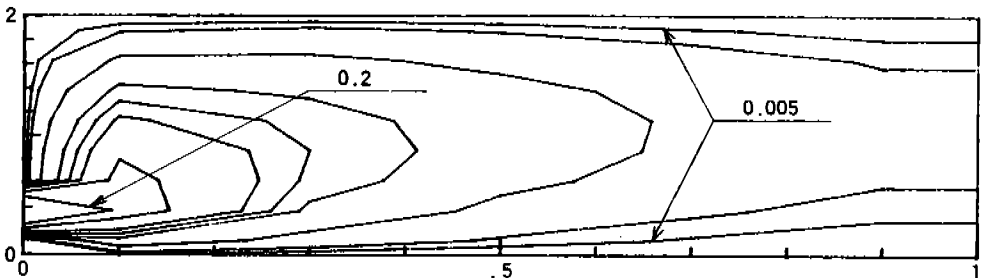


Fig. 4 Distributions of iso-swirl velocity line
 rv_e [m^2/s]; 0.2, 0.15, 0.1, 0.08, 0.06, 0.03, 0.01, 0.005

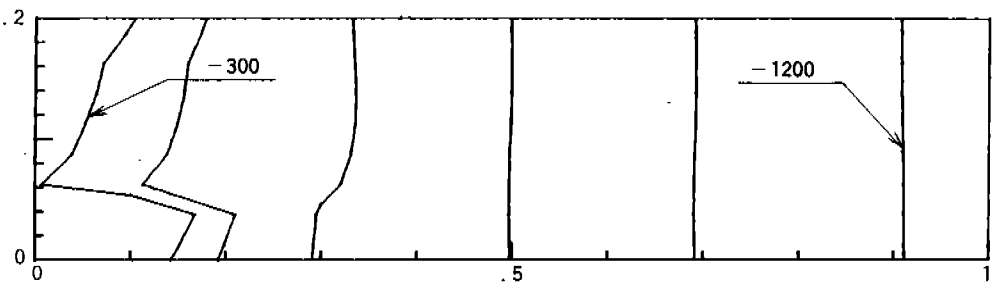


Fig. 5 Distributions of isobaric line
Relative pressure [N/m^2]; -1200, -1000, -800, -600, -400, -300

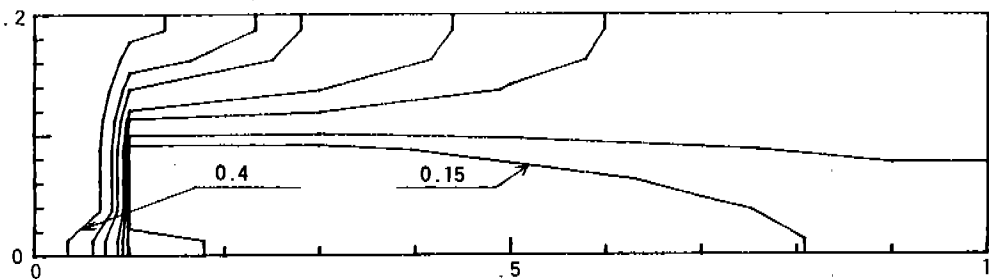


Fig. 6 Distributions of iso-density line
Density [kg/m^3]; 0.4, 0.3, 0.25, 0.2, 0.18, 0.16, 0.15

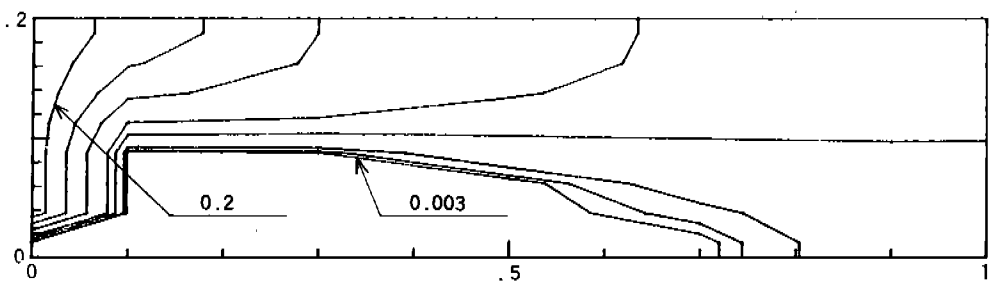


Fig. 7 Distributions of iso-fraction of oxygen
Oxygen [kg/kg]; 0.2, 0.15, 0.1, 0.05, 0.03, 0.01, 0.005, 0.003

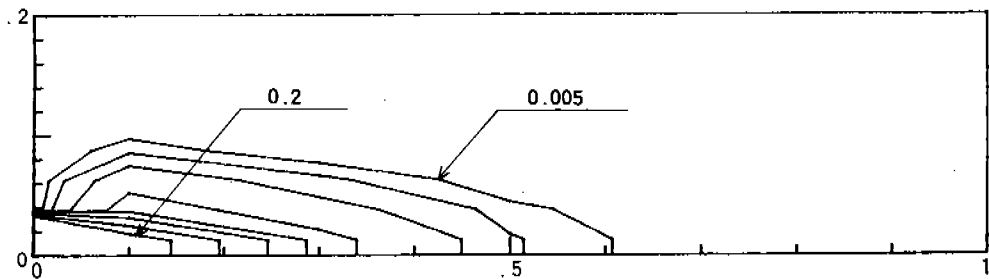


Fig. 8 Distributions of iso-fraction of fuel
 CH_4 [kg/kg]; 0.2, 0.15, 0.1, 0.06, 0.04, 0.02, 0.01, 0.005